

Розенберг О.А.<sup>1</sup>, Шейкін С.Е.<sup>1</sup>, Моляр А.Г.<sup>2</sup>, Ростоцький І.Ю.<sup>1</sup>, Ефросинін Д.В.<sup>1</sup>

<sup>1</sup> Інститут сверхтвердих матеріалів ім. В.Н. Бакуля НАН України. Україна, г. Київ

<sup>2</sup> Інститут металлофізики ім. Г.В. Курдюмова НАН України. Україна, г. Київ

## О ШЕРОХОВАТОСТИ ОБРАБОТАННОЇ ПОВЕРХНОСТИ И УПРОЧНЕНИИ ПОВЕРХНОСТНОГО СЛОЯ ПРИ НАКАТЫВАНИИ ДЕТАЛЕЙ ИЗ ВТ1-0 И ВТ22 СТАЛЬНЫМИ ШАРАМИ

### Анотація

У статті викладено результати дослідів по накатуванню сталевими кулями титанових сплавів, а також надані технологічні рекомендації по їх обробці накатуванням.

### Abstract

In the article is described result of researches of titan alloys by rolling steel spheres, and also are marked technological recommendations for their machining by rolling.

Применение титановых сплавов в качестве материала ответственных деталей машин обусловлено, в основном, их химической стойкостью, высокой удельной прочностью и специфическими теплофизическими свойствами.

Используя в качестве финишной операции обработки деталей машин методы холодного поверхностного пластического деформирования (ХППД), можно существенно снизить шероховатость поверхности, упрочнить поверхностный слой и, тем самым, существенно поднять их эксплуатационные характеристики.

Однако, при том, что титановые сплавы хорошо обрабатываются всеми способами горячей пластической деформации, не все методы ХППД могут быть применены для их обработки. Применение методов ХППД, в основе которых лежит трение скольжения (выглаживание, деформирующее протягивание), в настоящее время невозможно [1–4], вследствие повышенной склонности титановых сплавов к схватыванию с инструментальными материалами и отсутствием технологических смазок, способных схватывание предотвратить.

Большинство исследователей сходятся во мнении, что, несмотря на ряд положительных результатов [5, 6], вопрос разработки технологических смазок для обработки титана указанными методами, требует еще своего разрешения, так как ни одна из разработанных смазок не может полностью гарантировать отсутствие схватывания.

Из методов ХППД для обработки титановых сплавов могут быть применены те, в основе кото-

рых лежит трение качения [8], в частности, накатывание роликами и шарами.

Особенностью накатки роликами является наличие принудительной оси вращения, что приводит к увеличению доли трения-скольжения при взаимодействии инструмента с обрабатываемой деталью по сравнению с обкаткой шарами. Учитывая повышенную склонность титановых сплавов к схватыванию, данный факт является важным. Кроме того, накатывание шарами позволяет работать с меньшими усилиями, уменьшает вероятность деформирования маложестких деталей и шелушения обрабатываемой поверхности [3, 8].

Целью настоящего исследования является изучение влияния технологических режимов накатывания шарами на шероховатость обработанной поверхности и упрочнение поверхностного слоя деталей из титановых сплавов ВТ1-0 и В22. Выбор данных марок сплавов обусловлен следующим. Технически чистый титан обладает высокой биологической совместимостью с живой тканью человеческого тела, вследствие чего может быть использован в качестве материала для различного вида имплантатов, применяемых в костной хирургии [9]. Сплав ВТ 22 широко применяется для изготовления деталей в авиационной и космической технике. В значительном числе случаев, к указанным деталям предъявляются высокие требования по шероховатости обработанной поверхности и микротвердости поверхностного слоя.

Поскольку титановые сплавы довольно существенно упрочняются деформацией, то для получения достоверных результатов по изучению накатки необходимо перед исследованиями привести структуру и напряженное состояние образцов в максимально устойчивое состояние, обеспечив максимальную пластичность сплава. Максимальная пластичность титановых сплавов, в частности однофазных, к которым относится ВТ1-0 (технически чистый титан с технологическими добавками алюминия до 0,7%) достигается отжигом при температуре близкой к температуре начала рекристаллизации. В нашем случае, при использовании исходной прутковой заготовки, температура отжига составляла 650°C. Для обеспечения мини-

мальных внутренних напряжений от механической обработки, заготовки предварительно механически обрабатывались с оставлением минимального припуска на чистовую обработку и отжигались в вакуумной печи СНВЛ1.3.1/16М1 при остаточном давлении  $P_{\text{ост.}} \leq 2 \times 10^{-2}$  Па в течение 120 мин.

Для двухфазного ( $\alpha + \beta$ )-титанового сплава максимальная пластичность (сочетание пластических и прочностных свойств) может быть получено при определенных размерах и морфологии выделений вторичной  $\alpha$ -фазы, что достигается «мягкой» закалкой и последующим старением, по другому называемой «ступенчатой термообработкой». Эта обработка включает в себя нагрев до температуры на 30–50°C ниже полиморфного превращения (в нашем случае 820°C) с выдержкой не более 60 мин. для снятия внутренних напряжений и частичной стабилизации фазового состава, охлаждение до 750°C и выдержки 120 мин., с ускоренным охлаждением (скорость охлаждения  $\geq 5^{\circ}\text{C}/\text{мин}$ ) до температуры 500°C. При такой обработке в сплаве фиксируется определенное количество избыточной  $\beta$ -фазы, которая старением при температуре 600°C может быть разложена с выделением мелкозернистой  $\alpha$ -фазы. Указанную термообработку сплава BT22 также выполняли в вакууме после предварительной механической обработки во избежание влияния вакуумного растрескивания поверхности при высоких температурах [10].

После термообработки заготовки имели твердость: BT1-0 – HB = 1600 МПа, BT22 – HB = 3300 МПа [10]. Для экспериментов использовали цилиндрические детали Ø 36 мм, которые после термообработки окончательно обтачивали при подаче  $S = 0,17$  мм/об до шероховатости  $Ra = 5–6$  мкм. Вследствие того, что скорость накатывания на шероховатость обрабатываемой поверхности практически не влияет [11], ее значение не менялось и составило  $V = 36$  м/мин. В экспериментах использовали обкатник упругого действия, обеспечивающий плавную работу и равномерное усилие по всей обрабатываемой поверхности. Пружину

обкатника предварительно тарировали. Использовали шары из ШХ 15 диаметром Ø 5, 8 и 13,5 мм. В качестве технологической смазки использовали в соответствии с рекомендациями [8] индустриальное масло 20.

Для измерения шероховатости использовали профилометр-профилограф TalySurf – 5M-120. Измерение микротвердости производилось на приборе ПМТЗ.

Для уменьшения разброса значений и большей наглядности представления результатов в виде графиков вместо  $Ra$  (мкм) использовали относительную шероховатость  $Ra/Ra_0$ , где  $Ra$  – шероховатость поверхности после обкатывания;  $Ra_0$  – исходная шероховатость. Для удобства анализа закономерностей изменения шероховатости в области малых значений (менее 0,1 мкм), графики строили в полулогарифмических координатах.

Результаты исследований в виде зависимостей относительной шероховатости  $Ra/Ra_0$  от количества проходов, полученных при различных технологических режимах при обкатывании деталей из BT1-0 в полулогарифмических координатах, приведены на рис. 1.

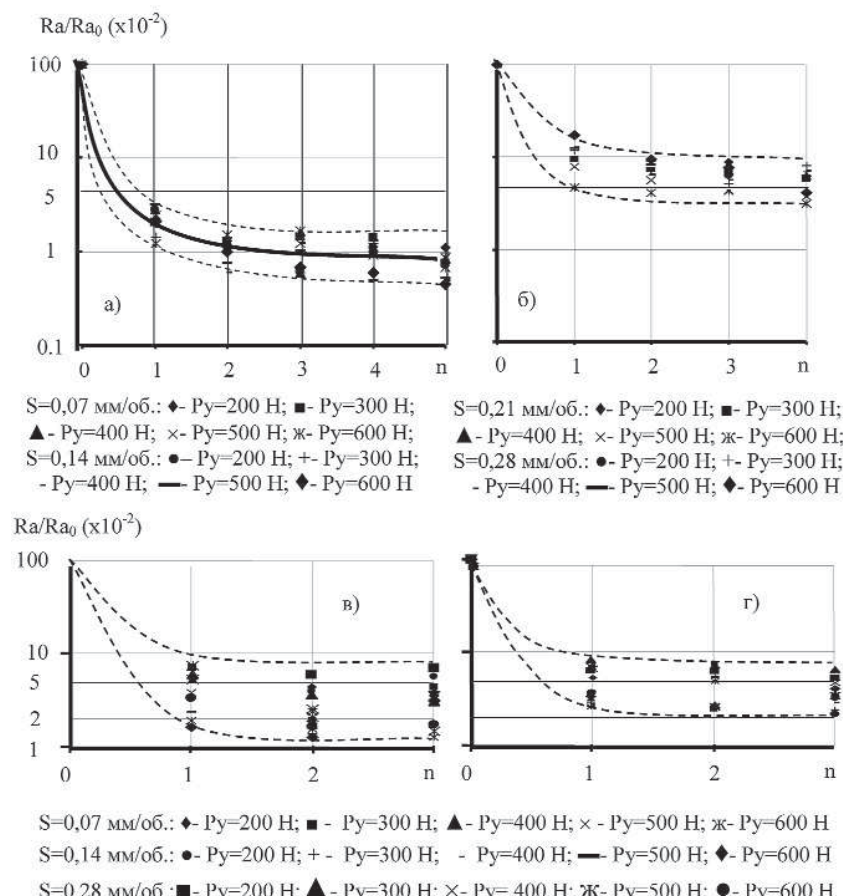


Рис. 1. Зависимость относительной шероховатости от количества циклов ( $n=1-5$ ) при обкатывании детали из BT1-0 при различных технологических режимах:

a)  $d_{\text{ш}}=5$  мм,  $S=0,07, 0,14$  мм/об.; б)  $d_{\text{ш}}=5$  мм,  $S=0,21, 0,28$  мм/об.;

в)  $d_{\text{ш}}=8$  мм; г)  $d_{\text{ш}}=13,5$  мм

Пунктирными линиями на рисунке ограничен диапазон значений относительной шероховатости поверхности.

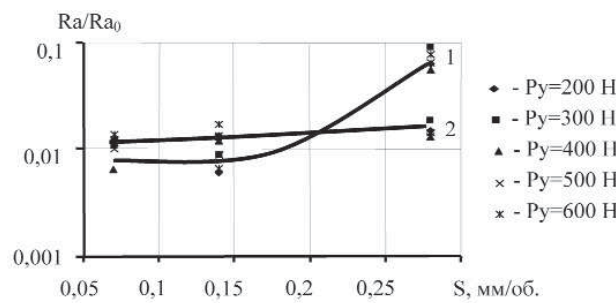


Рис. 2. Зависимость относительной шероховатости от подачи после второго цикла обработки при обкатывании сплава BT1-0 шаром Ø 5 мм (1) и Ø 13,5 мм (2)

Анализируя результаты исследований, можно отметить следующее. Наиболее интенсивное снижение шероховатости происходит при прочих равных условиях при обкатывании наименьшим ( $\varnothing 5$  мм) из примененных шаров. При этом значения шероховатости практически достигают минимальных значений

уже после второго прохода и далее с увеличением их числа уменьшаются незначительно. Характерно, что сила прижима инструмента к заготовке в диапазоне 200–600 Н на значение  $R_a/R_{a_0}$

Рис. 3. Зависимость относительной шероховатости от диаметра шара после двух циклов обработки BT1-0 при подаче  $S = 0,07\text{--}0,14$  мм/об.,  $P_y = 600$  Н

практически не влияет (рис. 1, а). Полученную экспериментальную зависимость относительной шероховатости от количества проходов для шара  $\varnothing 5$  мм и подач  $S = 0,07, 0,14$  мм/об можно аппроксимировать зависимостью  $R_a/R_{a_0} = 0,0179e^{-0,1858n}$ .

С увеличением подачи ( $S > 0,14$  мм/об) значение  $R_a/R_{a_0}$  увеличивается. При этом минимальные значения получаются также после второго прохода (рис. 1, б).

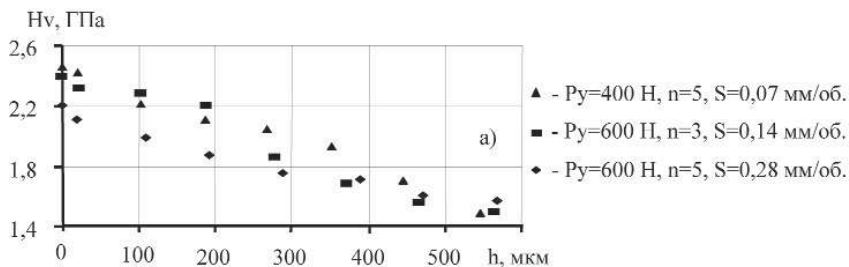


Рис. 4. Распределение микротвердости в поверхностном слое деталей из BT1-0 после обкатывания ( $d_{ш} = 5$  мм) по различным технологическим режимам

При больших значениях диаметра шара влияние подачи на шероховатость выражено не столь явно. Данную закономерность иллюстрирует рис. 2. Видно, что влияние подачи на шероховатость обработанной поверхности наиболее отчетливо просматривается при использовании шара наименьшего диаметра (Ø 5 мм).

На рис. 3 приведена зависимость в линейных координатах относительной шероховатости от диаметра шара после второго цикла обработки. Значения получены с учетом статистической обработки экспериментальных данных. Очевидно, что наименьшие значения относительной шероховатости получаются при использовании шара наименьшего диаметра.

Экспериментальными исследованиями [3] установлено, что при обработке титановых сплавов с увеличением диаметра шара поверхностная микротвердость снижается. По этой причине в наших экспериментах использовали шары Ø 5 мм.

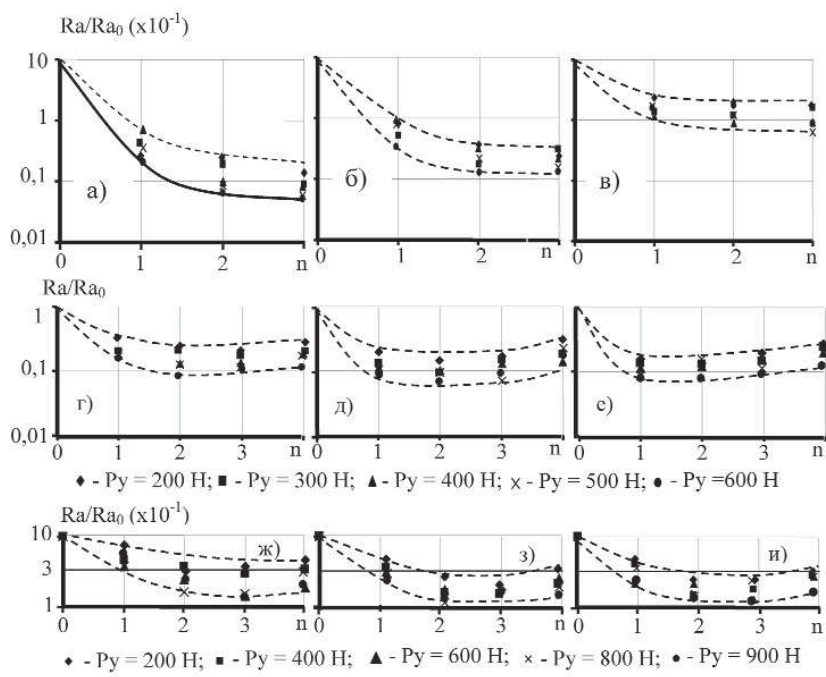
На рис. 4 приведено распределение микротвердости в поверхностном слое детали из BT1-0 после обкатывания по различным технологическим режимам. Видно, что при накатывании сплава BT1-0 возможно получить увеличение поверхностной микротвердости ( $H_V/H_{V0}$ ) в 1,6 раза и глубину слоя деформационного упрочнения до 400 мкм.

На рис. 5 приведены зависимости относительной шероховатости поверхности  $R_a/R_{a_0}$  от количества проходов при обкатывании деталей из BT22 при различных технологических режимах. Пунктирными линиями ограничен диапазон значений относительной шероховатости поверхности, полученных в экспериментах.

Приведенные данные свидетельствуют о том, что установленные зависимости подчиняются тем же закономерностям, что и при обработке BT1-0. А именно, наименьшие значения шероховатости получаются при использовании шара малого диаметра (в нашем случае Ø 5 мм) (рис. 5, а; рис. 6). Видно также, что при обработке BT22, как и при обработке сплава BT1-0, с увеличением диаметра шара влияние подачи на шероховатость уменьшается (рис. 7).

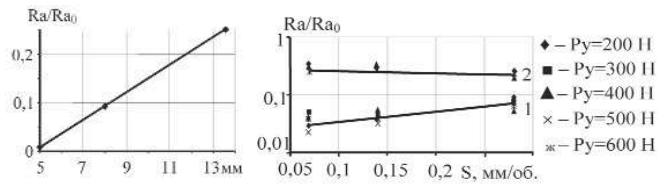
Отличие состоит в том, что во всех рассмотренных случаях более четко просматривается влияние силы прижима инструмента и подачи на шероховатость. А именно, при увеличении силы значение  $R_a/R_{a_0}$  уменьшается, а при увеличении подачи — увеличивается.

На рис. 8 приведено распределение микротвердости в поверхностном слое детали из BT22



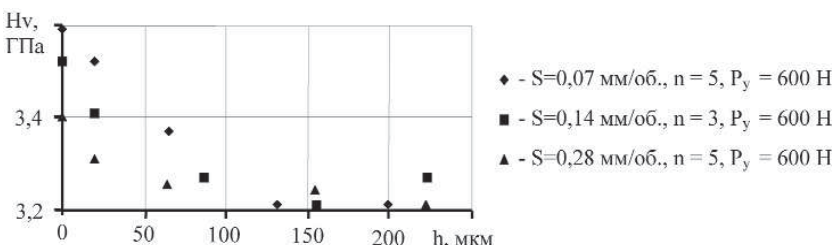
**Рис. 5.** Зависимость относительной шероховатости от количества проходов при накатывании детали из BT22 при различных технологических режимах:

а)  $d_{ш}=5 \text{ мм}, S=0,07 \text{ мм/об.}$ ; б)  $d_{ш}=5 \text{ мм}, S=0,14 \text{ мм/об.}$ ; в)  $d_{ш}=5 \text{ мм}, S=0,28 \text{ мм/об.}$   
г)  $d_{ш}=8 \text{ мм}, S=0,07 \text{ мм/об.}$ ; д)  $d_{ш}=8 \text{ мм}, S=0,14 \text{ мм/об.}$ ; е)  $d_{ш}=8 \text{ мм}, S=0,28 \text{ мм/об.}$   
ж)  $d_{ш}=13,5 \text{ мм}, S=0,07 \text{ мм/об.}$ ; з)  $d_{ш}=13,5 \text{ мм}, S=0,14 \text{ мм/об.}$ ; и)  $d_{ш}=13,5 \text{ мм}, S=0,28 \text{ мм/об.}$



**Рис. 6.** Зависимость  $Ra/Ra_0$  от диаметра шара после 2-х циклов обработки BT22 с подачей  $S=0,07 \text{ мм/об.}$ , при  $P_y = 600 \text{ Н}$

**Рис. 7.** Зависимость  $Ra/Ra_0$  от подачи после 2-х проходов обкатывания BT22 шаром  $\varnothing 5 \text{ мм}$  (1) и  $13,5 \text{ мм}$  (2)



**Рис. 8.** Распределение микротвердости в поверхностном слое детали из BT22 после накатывания шаром  $\varnothing 5 \text{ мм}$  из SHX15 по различным технологическим режимам

после накатывания стальными шарами  $\varnothing 5 \text{ мм}$  по разным технологическим режимам. Очевидно, что при накатывании сплава BT22 возможно получить увеличение поверхностной микротвердости в 1,1 раза и глубину упрочненного слоя до 100 мкм.

Различия в формировании шероховатости при обработке сплавов BT1-0 и BT22 при использовании шаров  $\varnothing 5 \text{ мм}$ , а также разницу в глубине слоя деформационного упрочнения можно объяснить большим содержанием легирующих элементов в сплаве BT22 и, как следствие, меньшей его пластичностью (относительное удлинение BT1-0 – 30%, BT22 – 10% – ГОСТ 19807-91).

## Выводы

1. При накатывании деталей из BT1-0 и BT22 можно отметить следующие общие закономерности формирования шероховатости:

- при исходной шероховатости  $Ra$  5–7 мкм возможно получить шероховатость  $Ra$  0,05–0,07 мкм;
- с точки зрения получения минимальных значений шероховатости наиболее эффективным является применение шаров малого диаметра;

- в исследованном диапазоне технологических режимов минимальные значения шероховатости достигаются после двух проходов, увеличение количества проходов более 2–3-х приводит к увеличению  $Ra/Ra_0$  вследствие перенаклена и шелушения.

2. При накатывании BT1-0 шаром  $\varnothing 5 \text{ мм}$  при подаче менее 0,14 мм/об изменение силы  $P_y$  в диапазоне 200–600 Н на величину шероховатости практически не влияет, при накатывании BT22 во всех случаях увеличение силы прижима инструмента ( $P_y$ ) приводит к снижению шероховатости.

3. При накатывании сплава BT1-0 достигается увеличение поверхностной микротвердости ( $HV/HV_0$ ) в 1,6 раза и глубина упрочненного слоя до 400 мкм, при накатывании сплава BT22 –  $HV/HV_0 = 1,1$  и глубина упрочненного слоя до 100 мкм. При этом:

- с увеличением подачи поверхность микротвердость уменьшается;
- количество проходов на глубину упрочненного слоя практически не влияет;
- с увеличением силы прижима инструмента микротвердость поверхностного слоя и глубина слоя деформационного упрочнения увеличиваются.



## Література

1. Смелянський В. М., Колеватов В. В. Технологическое управление качеством поверхностного слоя при обкатывании титановых сплавов // Вестник машиностроения. 2001. № 9. – С. 51–54.
2. Сулима А. М., Евстигнеев М. И. Качество поверхностного слоя и усталостная прочность деталей из жаропрочных и титановых сплавов. – М.: «Машиностроение», 1974.
3. Горохов В. А. Чистовая обработка титановых сплавов. – М.: «Машиностроение», 1975. – 109 с.
4. О выборе технологических смазок для деформирующего протягивания деталей из титановых сплавов / О. А. Розенберг, Е. А. Пащенко, С. Е. Шейкин, И. Ю. Ростоцкий // Технологические системы. – 2007. – № 2(38). – С. 27–32.
5. До питання розробки технологічних змашень для обробки деталей з титанових сплавів деформуючим протягуванням / Шейкин С. Е., Шило А. Ю., Гаврилова В. С. Ростоцький І. Ю. // Вісник Житомирського інженерно-технічного інституту. – Житомир, 2009. – № 2(49). – С. 3–7.
6. О выборе технологических смазок для деформирующего протягивания деталей из титановых сплавов / Розенберг О. А., Пащенко Е. А., Шейкин С. Е., Ростоцкий И. Ю. // Технологические системы. – 2007. – № 2(38). – С. 27–32.
7. Розенберг О. А. Механика взаимодействия инструмента при деформирующем протягивании. Киев: Наукова думка, 1981. – 288 с.
8. Папішев Д. Д. Отделочно-упрочняющая обработка поверхностным пластическим деформированием. – М.: «Машиностроение», 1978. – 152 с.
9. Иголкин А. И. Титан в медицине (Электронный ресурс) / А. И. Иголкин // Титан – 1993. – Режим доступа к журн.: <http://www.titanmet.ru>.
10. Инструкция ВИАМ № 685-76 „Термообработка титановых сплавов” ПИ1.2.051-78 Особенности применения титанового сплава ВТ22.
11. Смелянський В. М. Механика упрочнення деталей поверхністным пластичним деформуванням. – М.: Машиностроєння, 2002. – 300 с.